

滝上工業株 正員 林 輝 雄
 . . . 初 田 匠 史
 . . . 安 藤 浩 吉
 . . 大 沢 正 恵

1. まえがき

斜張橋の予備設計を行なう場合、ケーブルの剛性や主ゲタの剛性を仮定して手計算で構造解析を行なうことは、かなりの労力がいるものである。本文ではこれらの労力を少しこれも少なくするため、図-1に示す型式の斜張橋に対して無次元パラメーターを表わした因表を作ることを試みた。なお解析は文献1)に従って行ない、パラメーターとして次に示す α , β , および δ を用いた。

α : 図-1に示す径間比

$$\beta = \frac{6EI}{2(2+\alpha)^3 L^2 (EcAc_1) \sin^2 \theta_1 \cos \theta_1}, \quad \delta = \frac{1}{2} \left(\frac{Ac_1}{Ac_2} \right) \left(\frac{\sin \theta_1}{\sin \theta_2} \right)^2 \left(\frac{\cos \theta_1}{\cos \theta_2} \right) \quad \text{式 (1)}$$

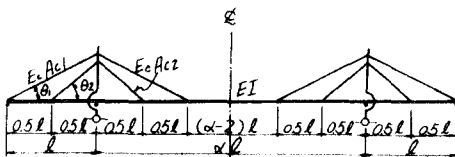


図-1 型式

また、結果としては、タワミ、曲げモーメント、支点反力、およびケーブル張力の影響線諸量を主ゲタを38分割して求めた。このうち、道路橋の設計に必要な最小限の値として、中央径間中央点のタワミ、曲げモーメント、中間支点反力、および上下のケーブル張力の影響線面積と最大縦距のみを因表にした。なお、パラメーターを変化させた範囲は、 $\alpha=2.5, 2.6, 2.7, 2.8, 2.9, 3.0$, $\beta=0.0001, 0.0005, 0.0010, 0.0015, 0.0020, 0.0030$, $\delta=0.5, 0.75, 1.00, 1.25$ とした。解析における仮定は次のようである。

- 1) 構造型式は図-1に示す対称構造で、主ゲタの曲げ剛性 EI は全径間にわたって一定、また、ケーブルの剛性は上段ケーブルを $EcAc_1$ 、下段ケーブルを $EcAc_2$ とする。
- 2) 塔とケーブルの結合状態は、上段、または下段のどちらか一方が固定、他方が可動である。また、塔基部の支持状態は主ゲタに無関係なピン固定である。したがって、塔には曲げが生じない。
- 3) 塔および主ゲタの軸方向の変形、およびせん断変形は無視し、ケーブルと主ゲタの交点は主ゲタの軸線上にある。

2. 図表の説明

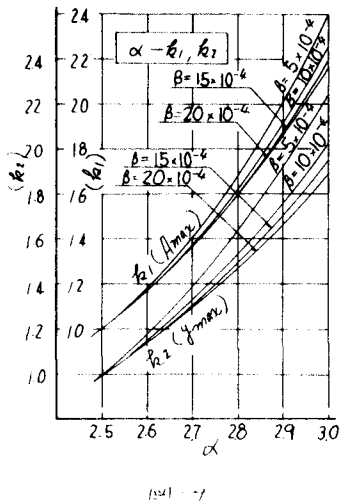
- 1) タワミ: 図-2, および3は中央径間中央点に関する(+)影響線面積 A_{max} 、および(-)最大縦距 y_{max} を、 α 、 β に対する横軸 δ で表わしたものである。 α 、 β の任意の値に対しては図から目測で読みとらこともできるが、もう少し詳しく求めるためには、図-4~6を用いる。図-4は図-2, 3の任意 $\alpha_{\delta=0.5}$ の $\alpha_{\delta=0.5}=2.5$ の値に対する係数である。図-5は任意 $\alpha_{\delta=1.25}$ の $\alpha_{\delta=0.5}$ の値に対する係数である。したがって、 $\alpha_{\delta=0.5}$, $\alpha_{\delta=1.25}$ が定まるので任意の δ に対しても、図-6のたぐ内挿ぐさる。

2) 曲げモーメント: 図-7, 8は図-2, 3と同様、中央径間中央奥に衝突する A_{max} , As_{max} , yc_{max} 、および総影響面積 Total A である。任意のYについては直線内挿、任意のY'については図-6の如きで内挿できる。

3) 不確定反力; 図-9より $\alpha = 10$ は $\alpha = 2.5$,
 および $\alpha = 3.0$ に対する総影響面積 Total A で
 ある。ニ小も曲げモーメントと同様、任意の
 については直線内挿、任意のについては図-6
 の方法で内挿できる。

3. 数表の使用例

$L = 70 \text{ m}$, $\ell' = 185.5 \text{ m}$ (中突徑間), $\theta_1 = 22^\circ$, $\theta_2 = 30^\circ$, $I = 0.75 \text{ m}^4$, $A_{c1} = 0.030 \text{ m}^2$, $A_{c2} = 0.015 \text{ m}^2$
 $E_{c1} = 2.1 \times 10^7$, $E_{c2} = 1.9 \times 10^7$, 支承, 荷重強度 $\gamma = 1 \text{ C}$,
死荷重 $W_d = 8.0 \text{ t/m}$, 活荷重 $P = 3.5 \text{ t/m}$, $f = 50 \text{ t}$,



1221

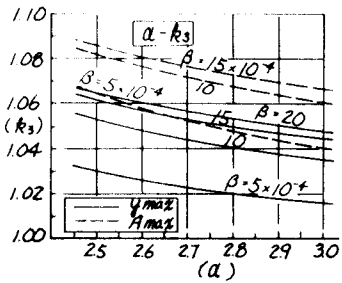
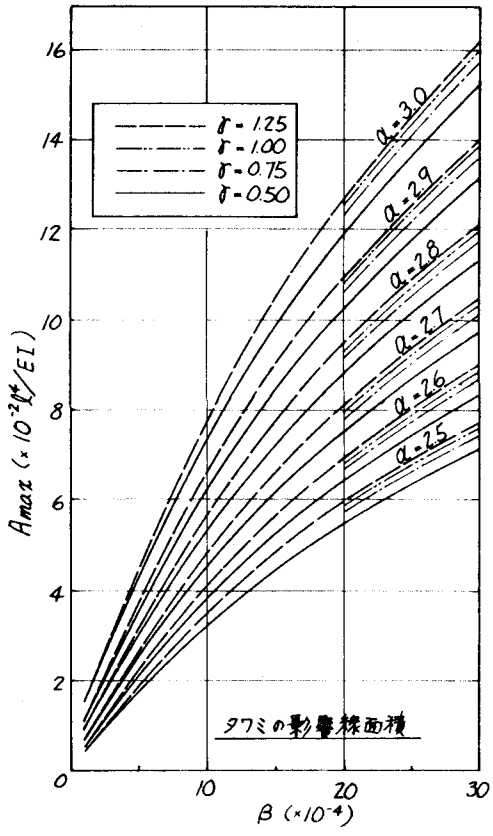
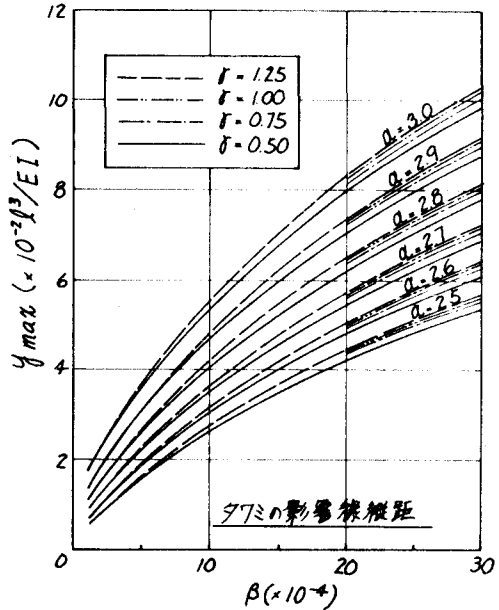


圖 - 5



11 - 2



四 - 3

$i = 0.167$, $i' = 0.080$, の場合について計算しよう。
無次元数として式-(1)より, $\alpha = 2.65$, $\beta = 0.0013$, および $T = 0.6$ を得る。

1) び荷重による最大タラミ ($10^3 P/EI$, $10^2 P/EI$ の定数の記述は省略する)

極端的には図-2, 3より

$$A_{max} = 5.0, \gamma_{max} = 7.0$$

読み取るところができる。

また、これらをもう少し

正確に求めよう。図-2, 図-6

および 3 より $\beta = 0.0013$ に対する $\alpha_{T=0.5} = 2.5$ の場合の値を求めるところ, $A_{max} = 3.98$, $\gamma_{max} = 3.18$ である。

さらに $\alpha_{T=0.5} = 2.65$ に対する $\alpha = 2.65$ を補正するため, 図-4 の $k_1 = 1.26$, $k_2 = 1.23$ をかけて, $A_{max} = 3.98 \times 1.26 = 5.014$,

$\gamma_{max} = 3.18 \times 1.23 = 3.911$ となる。また、このときの $\alpha_{T=1.25} = 2.65$ に対する値は図-5 より, A_{max} に対する $k_3 = 1.077$, γ_{max} に対する $k_3 = 1.052$ であるから,

$$A_{max} = 5.014 \times 1.077 = 5.400, \quad \gamma_{max} = 3.911 \times 1.052 = 4.114.$$

さらに, $\alpha_{T=0.6} = 2.65$ に対する $T = 0.6$, 図-6 より $k_4 = 0.25$ とされる。これより求めよろとす A_{max} , γ_{max} は

$$A_{max} = (5.400 - 5.014) \times 0.25 + 5.014 = 5.11$$

$$\gamma_{max} = (4.114 - 3.911) \times 0.25 + 3.911 = 3.96$$

よって、前記の定数、および荷重強度を使って、最大タラミを計算すれば、つきのようである。

$$S_{max} = 5.11 \times (10^3 P/EI) \times P + 3.96 \times (10^2 P/EI) \times P = 0.280 m$$

2) 曲げモーメント

図-7, 8 より $\alpha = 2.65$, $\beta = 0.0013$, $T = 0.6$ に対する値と目測で読むところ, $A_{cmax} = 1.02$, $A_{smax} = 0.07$.

$\gamma_{cmax} = 1.92$, $Total A = 1.02$ とされる。よって、中央支点の曲げモーメントは上記の定数、および荷重強度を代入して、つきのようである。

$$M_d = 1.02 \times 10^4 l^2 \times W_x = 4000 t^m$$

$$M_{ext} = 1.02 \times 10^4 l^2 \times P \times (1+i) + 0.07 \times 10^4 l^2 \times P \times (1+i') + 1.92 \times 10^4 l \times P \times (1+i) = 2756 t^m, \quad \Sigma M = 6756 t^m$$

3) 中間支点反力

図-9 より $\beta = 0.0013$ に対する $\alpha_{T=0.5} = 2.5$ の値は

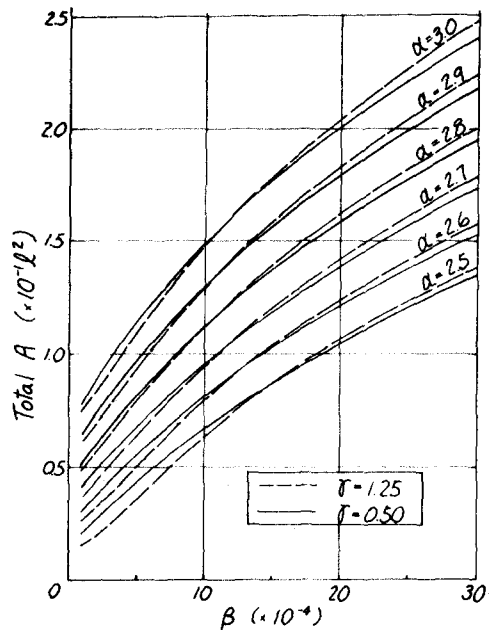


図-8 曲げモーメントへの影響線

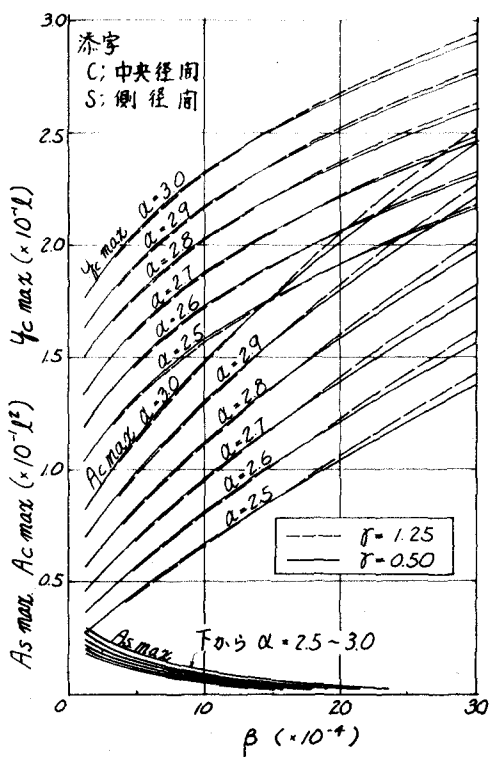


図-7 曲げモーメントへの影響線

$Total A = 0.89$, $\theta_{r=1.25} = 2.5$ の値は $Total A = 1.15$, よって,
 $\theta_{r=0.6} = 2.5$ では図-6 の $\theta_r = 0.25$ で内挿して, $Total A = (1.15 - 0.89) \times 0.25 + 0.89 = 0.96$ 。同様にして図-10 により
 $\theta_{r=0.5} = 3.0$ に対して, $Total A = 0.82$, $\theta_{r=0.5} = 3.0$ では $Total A = 1.22$, よって, $\theta_{r=0.6} = 3.0$ では, $Total A = (1.22 - 0.96) \times 0.25 + 0.96 = 0.98$ 。したがって, $\theta_{r=0.6} = 2.5$
 に対しては直接内挿して $Total A = \frac{0.98 - 0.96}{0.5} \times 0.15 + 0.96 = 0.97$ となる。前記の定数, および孔洞荷重係数を乗じて, 中間支点反力を求めると,

$$R_d = 0.97 \cdot l \cdot W_d = 543^2 \text{ となる。}$$

4) ケーブル反力 (上段ケーブル)

中間支点反力の場合と全く同様にして,

$$Total A = \frac{1.22 - 0.96}{0.5} \times 0.15 + 0.96 = 0.93 \text{ となる。よって孔洞荷重によるケーブル反力は } V_d = 0.93 \cdot l \cdot W_d = 521^2 \text{ となる。ケーブル張力に直すと,}$$

$$T_d = V_d \cdot \frac{1}{2} \sin \theta_d = 521 \cdot \frac{1}{2} \times 0.375 = 694^2 \text{ となる。}$$

(下段ケーブルへ計算は省略する)

4. あとがき

わが国でまでに実設された斜張橋では, $\alpha = 2.6$, $B = 0.001$, $r = 0.5$ 程度である。本章で扱ったのは $r = 0.5 \sim 1.25$ まで変化させたが, これは主にハーフ型に近い型式の場合に適用できる範囲で, カラカラ型に近い型式では, $r = 0.3 \sim 0.5$ 程度になるものと思われる。これについては現在資料をまとめておこなうので, まとまり次第報告したい。

あわせて, 斜張橋の設計は架設時の状態や, プレストレスの導入などが考慮されるものであって, 一概に斜張橋としての完成形だけでは論ずることはできない。また, 斜張橋の型式も本文で扱っていき型式のみでは限らないが, 予備設計などにおいて, 本文に示した図表などを用意に立てば幸いである。

文献1)

安藤・水島・鹿野; 斜張橋の一計算法, 橋梁と基礎
 Vol. 5, No. 9 (1971年9月)

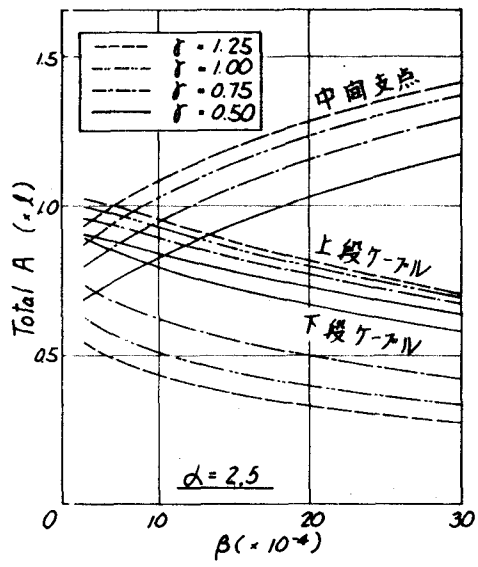


図-9

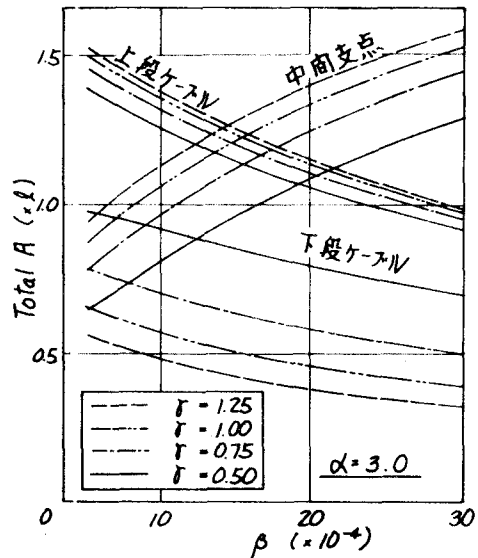


図-10